

АКАДЕМИЯ НАУК СССР

СИБИРСКОЕ ОТДЕЛЕНИЕ

ИНСТИТУТ ГЕОЛОГИИ И ГЕОФИЗИКИ ИМ. 60-ЛЕТИЯ СОВЕТА ССР
ОТДЕЛ ЭКСПЕРИМЕНТАЛЬНЫХ ГЕОФИЗИЧЕСКИХ ИССЛЕДОВАНИЙ

Г.Н.Новиков *Генна́дий Ильи́ч Новиков*
П.Ф.Фризен
Л.Н.Демидова
В.П.Ягунов

О содержании ртути в атмосфере Алтая.

ТОМСК - 1988

Ртуть в природе существует в разнообразных физических и химических формах с широким диапазоном свойств, что имеет определяющее значение для ее нахождения в атмосфере, гидросфере и литосфере. В окружающей среде преобладают три важнейшие химические формы ртути: элементарная ртуть Hg^0 , у которой высокое давление паров и сравнительно низкая растворимость в воде; 2) двухвалентная ртуть Hg^{2+} , которая является лигандом многих органических и неорганических соединений, прежде всего серусодержащих; 3) метилртуть CH_3Hg и диметилртуть $(CH_3)_2Hg$, которые токсичны и устойчивы к разложению в окружающей среде. Между этими формами существует подвижное равновесие в зависимости от локальных физико-химических условий.

Ртуть участвует в ряде сложных и переплетающихся циклов в окружающей среде, которые и включают ее превращение в разные формы. Двумя важнейшими из них являются атмосферный цикл и водо-биологический цикл. Атмосферный цикл начинается от превращения в почве и воде Hg^{2+} в газовую элементарную ртуть Hg^0 и/или $(CH_3)_2Hg$, диффузии этих соединений в атмосферу, определенного времени жизни в атмосфере с последующим повторным окислением элементарной ртути до водорастворимых форм и седиментации на почву или водную поверхность. Основными чертами водо-биологического цикла ртути являются образование метилртути, ее накапливание в организмах и питательных цепях и, наконец, деметилизация метилртути. Хотя метилртуть является преобладающей формой ртути в высших организмах, она представляет лишь малую часть ртути в аква-экосистемах и атмосфере (I). Вторым важным фактором является ртуть на аэрозолях, которая при попадании в дыхательные пути животных и человека задерживается на слизистых стенках и окисляется до растворимых форм. Поэтому концентрация ртути в элементарной форме Hg^0 , состав и спектр аэрозолей, сродство к ним элементарной ртути, скорости образования и разрушения метилртути имеют первостепенное значение для степени обогащения ртутью живых организмов.

В настоящей работе рассматривается лишь часть атмосферного цикла, а именно - концентрации элементарной ртути Hg^0 (газовая фаза) и аэрозольной ртути (аэрозольная фаза), где определяются Hg^0 , Hg^{2+} , CH_3Hg , $(CH_3)_2Hg$.

Гл. I. МЕТОДИКА ПРОВЕДЕНИЯ РАБОТ.

Методика проведения работ состоит из 2-х независимых частей: методики отбора проб и методики измерения ртути.

§ 1. Методика отбора проб.

Отбор проб воздуха для определения газовой составляющей ртути производился по всему профилю Томск - с.Верхний Уймон, начинавшийся в 1 км от автомобильного моста через реку Томь и заканчивавшийся на режимной точке, расположенной на с-о окраине В.Уймона. Отбор проб воздуха заключается в том, что с помощью воздуходувки типа ПРВ воздух прокачивается через сорбент в виде стеклянной трубы, покрытой слоем серебра, по реакции "зеркало" со скоростью 0,5 л/мин, контролируемой ротаметром. Время прокачивания составляет 3 минут.

Прокачивание воздуха производилось на расстоянии 30-50 м от автодороги, на высоте 0,15-0,20 м от земли; предпочтительно на открытых участках и с наветренной стороны от автодороги. Одновременно на каждой точке измерялась температура приземного воздуха. Таким образом, серебряный сорбент, образующий амальгаму с газообразной ртутью воздуха, очищенный перед употреблением термическим способом, после прокачивания воздуха через него, плотно закрывается тefлоновыми пробками и может храниться в таком положении 6-10 суток.

Методика отбора проб для определения аэрозольной составляющей ртути отличается лишь самим сорбентом, который состоит из кварцевой трубы того же диаметра, что и сорбент для газовой составляющей, т.е. 5мм, но заполнен переслаивающейся смесью высокодисперсных пористых материалов (кварцевая вата, аэросил) и порошкового серебра. Коэффициент захвата такого сорбента составляет не менее 95% для аэрозолей размером около 1 мкм. и близок к 100% для частиц меньшего диаметра. Способ концентрирования аэрозольной формы ртути не отличается от вышеописанного.

§ 2. Методика анализа.

Газ-носитель аргон, находящийся в баллоне под давлением 150ати, с помощью трехступенчатого редуцирования, выравнивающего поток, поступает со скоростью 0,5л/мин., контролируемой ротаметром, через серебряный сорбент в измерительную камеру анализатора ртути. Сорбент помещен в кварцевую печь, нагреваемую до 450-550°C. Анализ ртути производится атомно-флюоресцентным способом с чувствительностью 2лг Hg и погрешностью 15%. Принцип работы анализатора основан на дискретной регистрации резонансно рассеянных парами ртути фотонов, количество которых пропорционально измеряемой концентрации ртути. Применяемый линейный поляризатор уменьшает фон релевского

рассеяния газами, а используемый в качестве газоносителя аргон уменьшает тушение флюoresценции на два порядка по сравнению с использованием в таком же качестве воздуха.

Анализ ртути, накопленной на сорбентах, производится в одну стадию, т.е. "полевой" сорбент помещается в измерительный тракт и анализируется без предварительного перевода адсорбированной ртути на "аналитический" сорбент.

Стандартное время измерения определяется одной минутой, в течение которой интегрально считается количество импульсов (фотонов), пропорциональных концентрации ртути.

Гл. II. РЕЗУЛЬТАТЫ ИЗМЕРЕНИЙ.

На рис. I показан профиль измерений ртути в атмосфере с указанием местоположений точек отбора проб (арабские цифры). Стрелками показано направление ветра. Скорость ветра в течение всего интервала отбора проб была в основном 0,2-1м/сек, и лишь на точках I3, I4, 21, 22 порывы ветра достигали скорости 2-3м/сек. На точках, рядом с которыми нет стрелок, ветра не было.

Результаты измерений ртути в атмосфере в газовой фазе показаны на рис.2. Среднеарифметическая концентрация ртути составляет $716,8\text{нг}/\text{м}^3$, дисперсией $468\text{нг}/\text{м}^3$, с интервалом от $54\text{нг}/\text{м}^3$ до $3029\text{нг}/\text{м}^3$. Сюда не включен результат, полученный в точке № 10 величиной $7066\text{нг}/\text{м}^3$ и, вероятнее всего, связанный с антропогенным загрязнением от Краснореченского цементного завода и городов Новосибирска, Бердска и Искитима. На графике концентраций выделяется интервал от г.Томска до г.Болотное (точки наблюдений I-5), соответствующие Томь-Кольванской зоне с рассеянной ртутной минерализацией. Средняя концентрация по этой зоне $C_{\text{н}} = 1082,8\text{нг}/\text{м}^3$, $\sigma = 100,2\text{нг}/\text{м}^3$. Далее, от г.Болотное до правобережья р.Катунь в районе с.Усть-Сема (точки 6-21) - "предалтайская" зона - со средней величиной ртути в воздухе $339\text{нг}/\text{м}^3$, $\sigma = 197\text{нг}/\text{м}^3$, куда входят и антропогенные составляющие от городов Барнаула, Новоалтайска, Бийска, Горно-Алтайска. Третья зона является собственно алтайской, с содержанием ртути $C_{\text{н}} = 1010,0\text{нг}/\text{м}^3$, $\sigma = 758,5\text{нг}/\text{м}^3$. В этой зоне выделяется, по-видимому, Сарысинско-Курайская ртутная зона (тт.22-23) и Чарышско-Теректинская ртутно-сурымянная зона (т.27), характеризующиеся концентрациями $\sim 1300\text{нг}/\text{м}^3$ ртути, между которыми расположены зоны, связанные с полиметаллическими районами Горного Алтая. Исключение составляет концентрации ртути в зоне каньона р.Катунь ($3029\text{нг}/\text{м}^3$, т. № 31); вероятно, такие концентрации имеют пятнистый характер

распространения по долине реки.

На рис. 3 приведены концентрации ртути по хребту обрамления западной части Уймонской степи, по правому берегу р.Катунь (профиль 1), а на рис.4, профиль 2 - содержание ртути в воздухе по долине р.Уймон от ее предгорной лесистой части (точки 1-5) вдоль пшеничного поля до с. Верхний Уймон (точка 25) и далее по окраине деревни вверх по течению р.Катунь. На точке 30 располагался пункт режимных наблюдений, и часть результатов приведена на рис.5. Данные измерений ртути на пункте режимных наблюдений и наблюдения на профилях 1 и 2 систематизированы в виде гистограммы, где первая гармоника соответствует фоновой концентрации ртути в этом районе в данное время со средневзвешенной концентрацией ртути $155\text{нг}/\text{м}^3$; средневзвешенное значение второй гармоники $39\text{нг}/\text{м}^3$ - соответствует местным локальным аномалиям, а третьей гармоники - $3617\text{нг}/\text{м}^3$, что, по-видимому, связано с наиболее активными в тектоническом отношении зонами различного происхождения. Интервал изменения содержания ртути в приземном слое воздуха, на высоте 0,15-0,20 м изменяется от 21 до $8675\text{нг}/\text{м}^3$ (рис 6).

На рис.5 приведены результаты измерений ртути в пункте режимных наблюдений, где ежечасно измерялись направление и скорость ветра, приходящая солнечная радиация, относительная влажность воздуха, атмосферное давление, температуры почвы и воздуха, а также ртуть в газовой и аэрозольной формах. Остановимся несколько подробнее на данных результатах, поскольку они помогут понять некоторые выводы.

В падающей температуре почвы и воздуха к вечеру 14 августа наметился скачок температуры почвы, поддержанный уменьшением давления, стабилизацией относительной влажности, увеличением скорости ветра при том же северо-северо-восточном направлении, возможно, влияние еще каких-то факторов и система реагировала увеличением концентрации ртути в атмосферном воздухе в газовой фазе, пока к 03 часам 15 августа естественная седиментация не осадила газовую и аэрозольную формы ртути на поверхность почвы. Затем с восходом солнца суточный цикл начал повторяться. Следует отметить, что режимный пункт наблюдений расположен в спокойной в газорутутном отношении зоне согласно результатам профиля 2 (точка 30).

Ртуть в аэрозольной форме зависит прежде всего от количества и спектрального состава аэрозоля, который помимо природных факторов определяется автотранспортом, проходящим по проселочной дороге, расположенной в 60 м от места отбора проб воздуха.

Содержание ртути в аэрозольной форме изменяется от $1915\text{нг}/\text{м}^3$ в 17

часов 30 минут 14 августа до 1-3нг/м³ в 03 часа 15 августа. Соотношение ртути в аэрозольной фазе и газовой фазе изменяется от 19,95 до 0,7

Соотношение газовой и аэрозольной фаз ртути
на пункте режимных наблюдений с.В.Уймон

Таблица I

№ пп	Дата	Время отбора проб	С возду- ха	Относите- льная влажность	Аэрозольная фаза	Газовая фаза нг/м ³	Соотношение в отн.еди- ницах
I.	2	3	4	5	6	1819 96	19.95
2.	-"-	18-00	23,4	37	73 41		1.90
3.	-"-	19-00	22,7	57	934 72		13.67
4.	-"-	20-00	19,7	72	737 27		27.30
5.	-"-	21-05	17,4	71	66 104		0,63
6.	-"-	22-05	12,3	78	708 193		3.67
7.	-"-	24-00	7,5	-	822 213		3,86
8.	15.08.83	01-00	6,3	95	3 291		0,01
9.	-"-	02-00	6,4	97	90 432		0,21
10.	-"-	03-00	4,0	97	2 27		0,07
11.	-"-	04-00	3,5	98	18 21		0,86
12.	-"-	06-00	1,9	98	230 132		1,74

Для сравнения в таблице 2 приводятся данные по концентрации ртути в атмосфере для некоторых районов, а в таблице 3 - соотношения аэрозольной и газовой форм ртути в атмосфере акватории северного Каспия.

Некоторые сравнительные данные
концентрации ртути в атмосфере

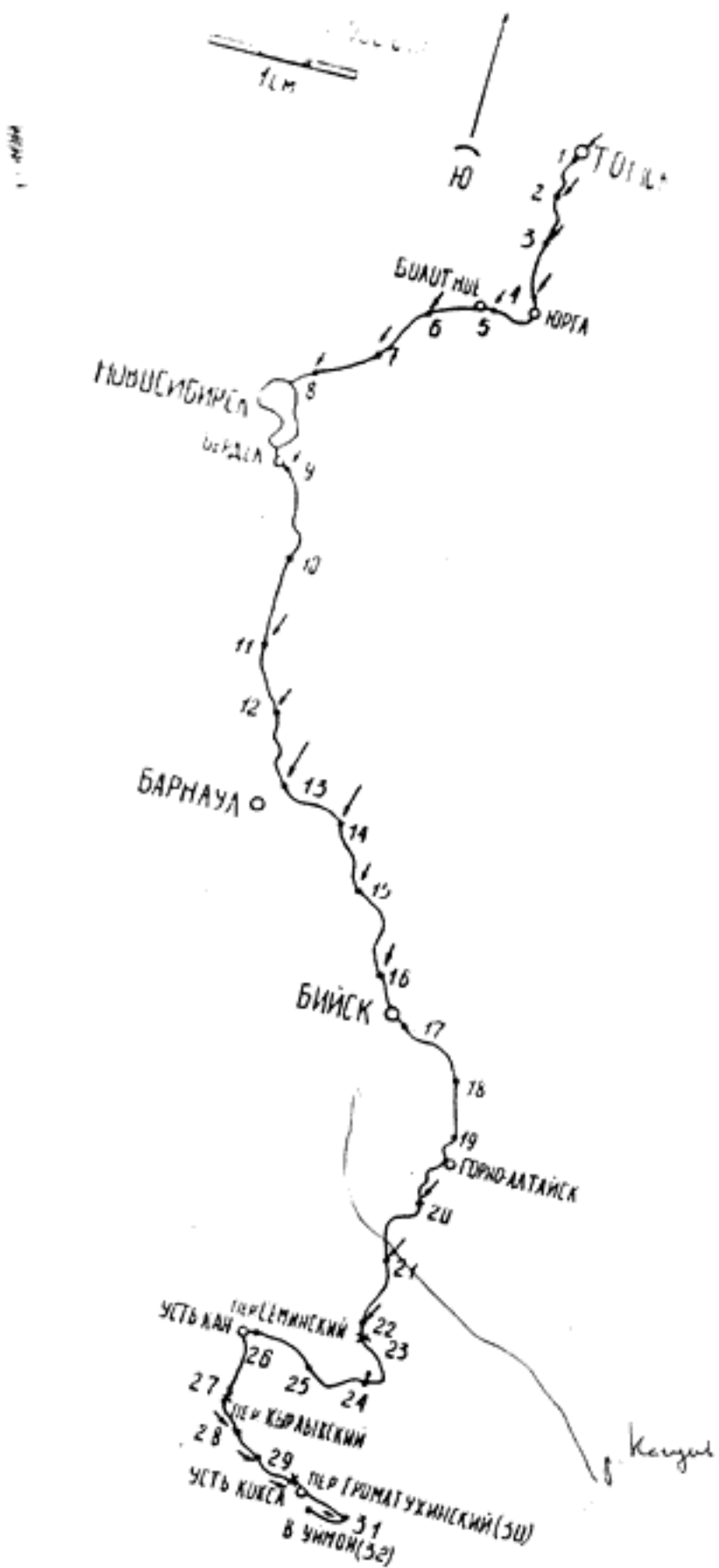
Таблица 2

Район и время измерений	Интервал измерений	Время накопл.	Интервал концентрац.	Средние значения	Источник информации	Форма-	ции
пп			нг м ⁻³	нг м ⁻³			
I	2	1	3	4	5	6	7
I. Кузбасс, сентябрь круглогодично 1985г.	точно, каждый час	5 мин.	26-29396	358	II0	Измерения авторов	
2. Хакасия, июль-август 1985г.	"	"	41-26467	927	251	"	
3. Акватория Байкала, круглогодично Июнь 1986г.	суточно	5 мин.	38-18682	607	198	"	
4. Салаир, район рудника Егорьевский, июль-сентябрь 1986г.	"	"	3-1623	248	380	"	
5. Акватория Байкала, август 1987г.	"	"	0,1-85980	367	306	"	
6. Акватория северного Каспия, октябрь 1987г.	"	"	5-4438	110	249	"	
7. Дальнегорск, Приморский край, май 1988г.	"	"	150-2149	9280	16	"	
8. Атлантический океан октябрь	2-4час	I-II		2.3			
9. Флорида, сельские районы	август-ноябрь	30мин	3-300	-			

Измерения составляющих ртути в приводном слое
атмосферы акватории северной части Каспийского
моря, октябрь 1987г.

Таблица 3

№ пп	Дата	Время отбора проб	Содержание ртути в аэрозольн. фазе		Место отбора проб	$^{\circ}$ С воздуха
			газовой фазе нг· м ⁻³	Соотноше- ние в %		
1	2	3	4	5	6	7
I20	23.10	06-50	<u>10690</u> 130	<u>98,8</u> 1,2	0,2-0,3м. от поверхности воды	II,6
I25	"	08-22	<u>1511</u> 615	<u>71,1</u> 28,9	"	II,9
I67	24.10	05-42	<u>15530</u> 574	<u>96,4</u> 3,6	"	II,9
I69	"	06-32	<u>240</u> 86	<u>73,7</u> 26,3	"	II,4
27I	26.10	09-02	<u>55463</u> 69	<u>99,9</u> 0,1	0,2-0,3м. от поверхности воды	6,6
I21	23.10	07-22	<u>434</u> 68	<u>86,5</u> 13,5	5м от поверх- ности воды	II,7
I44	"	I3-52	<u>6</u> 478	<u>1,2</u> 98,8	"	II,3
I82	24.10	I0-32	<u>6432</u> 94	<u>98,6</u> 1,4	"	I7,I
I95	"	I4-32	<u>4222</u> 16	<u>99,6</u> 0,4	"	I3,0
229	25.10	08-47	<u>10135</u> 47	<u>99,5</u> 0,5	"	6,0
236	"	I0-42	<u>24473</u> 19	<u>99,9</u> 0,1	"	6,0
244	"	I3-I5	<u>991</u> 10	<u>99</u> I	"	6,0



Ис. 1. Схема маршрута измерений ртути в газовой форме в Азии, где цифрами показаны пункты наблюдения; стрелками показано направление ветра для каждой точки наблюдения.

1	2	3	4	5	6	7		
256	25.IO	I6-37	<u>446</u> 25	<u>94,7</u> 5,3	5м. от поверхности воды		6,0	
259	"	I7-32	<u>25</u> 5	<u>83,3</u> 16,7	"		5,0	
265	26.IO	06-50	<u>503</u> 34	<u>95,3</u> 4,7	"		4,0	
273	"	I4-30	<u>0</u> 76	<u>0</u> 100	"		8,4	
310	27.IO	01-34	<u>2III6</u> 72	<u>96,7</u> 3,3	"		8,0	
323	"	04-52	<u>689</u> 37	<u>94,9</u> 5,1	"		8,4	
340	"	09-32	<u>I7I3</u> 25	<u>98,6</u> 1,4	"		8,2	

Гл. III. ОБСУЖДЕНИЕ МАТЕРИАЛОВ.

Результаты наблюдений, выполненных авторами в разные годы и частично представленных в таблице № 2 и результаты определений ртути на Алтае, показанные на рис.2-6, свидетельствуют о значительных концентрациях ртути в атмосфере южной Сибири, юга Дальнего Востока и северной части Каспийского моря, которые в основном формируются естественными источниками (почвы, водоемы, растительность). Естественное электромагнитное поле Земли и количественный, спектральный и минеральный состав природных аэрозолей в атмосфере за миллионы лет отрегулировали соотношения ртути в разных формах. На Алтае, в районе с.В.Уймо соотношение ртути в газовой и аэрозольной формах явно смещено в сторону газовой ртути и в ночное время газовая ртуть составляет более 99% суммарной, что чище, чем в самых чистых районах Северного Байкала (Баргузинский заповедник). Значительные концентрации ртути над рудными ртутными зонами и разломом р.Катуни позволяют утверждать о восходящих потоках ртути в атмосферу, а эти зоны рассматривать как источники ртути. Благодаря чистому от аэрозолей воздуху время жизни элементарной ртути в атмосфере незначительно (от нескольких часов до 7-14 дней),

окисление ртути, по-видимому, происходит не интенсивно, а стоком, вероятнее всего в значительной мере служит растительный покров. Если предположить, что в таблице I соотношения аэрозольной и газовой форм ртути равные 19,95; 13,67; 27,30 вызваны в основном проезжающими по пыльной проселочной дороге автотранспортом, что требует подтверждения, то соотношения форм ртути, равные 3,86-0,01, могут быть вызваны естественными тепловыми, гравитационными и электрическими полями, и, в целом, поведение ртути в атмосфере вблизи с.В.Уймон можно рассматривать как природную саморегулирующуюся геолого-геофизическую систему.

ВЫВОДЫ: Газорутная атмосфера Алтая характеризуется большой напряженностью и природно отрегулированными циклами ртути. Вмешательство человека в этот единый цикл нарушает взаимосвязи элементов. Увеличение водного зеркала ускоряет цикл метилирования ртути в атмосфере и воде; уменьшение лесной зоны, развитие промышленности, изменение в любую сторону естественного электрического поля Земли, увеличивает количество и спектральный состав аэрозолей и изменяет их минеральный состав, что увеличивает количество ртути в атмосфере в аэрозольной фазе и в этой фазе ускоряет ее окисление. В отсутствии леса не происходит стока ртути с ее последующим диметилированием, т.е. вмешательство человека в больших масштабах обязательно приведет к общему увеличению содержания ртути в атмосфере, накоплению в аква- и фитосистемах токсичных форм ртути, а в некоторых местах и к появлению смогов.

ЛИТЕРАТУРА

I. Lindqvist Oliver, Rodhe K, *Atmospheric mercury - a review*. Tellus, 1985, 1337, p.136-159.

Научный сотрудник ИГиГ СО Академии наук ССР
Г. Н. Новиков



28 августа 1988 г.

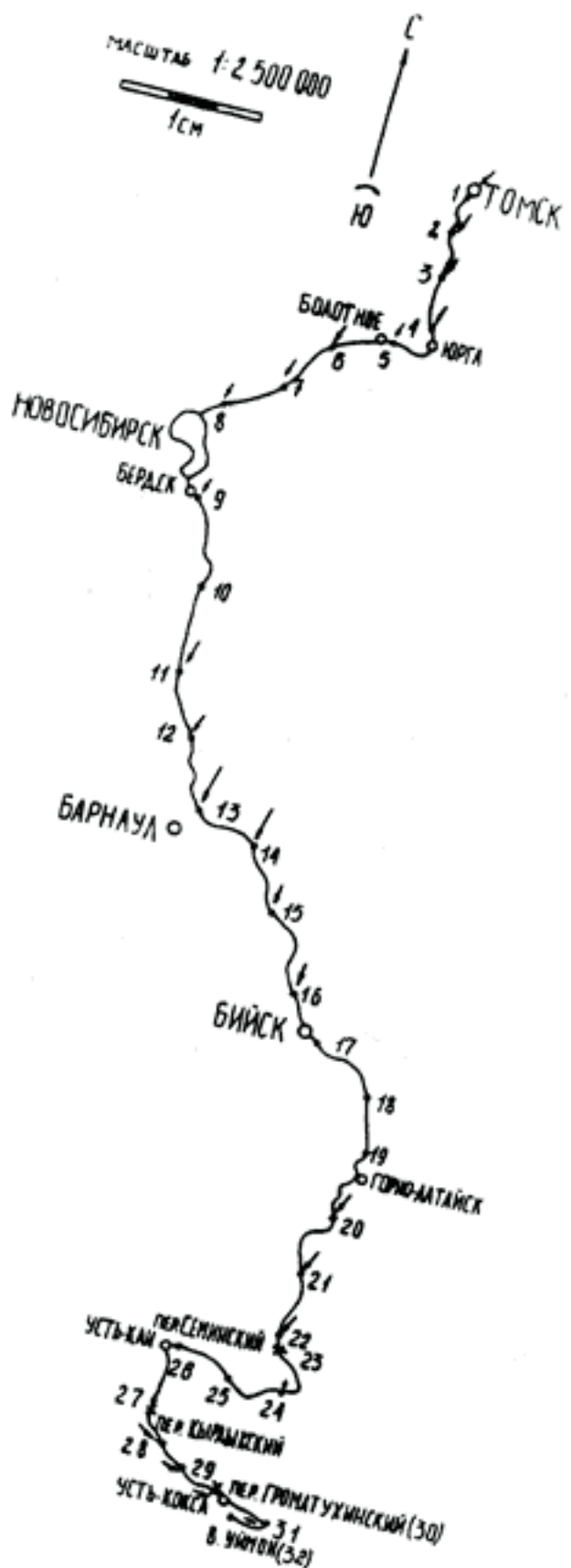


Рис. 1. Схема маршрута измерений
стути в газовой фазе в атмосфере;
цифрами показаны пункты на-
блюдений, стрелками-направление
зенита для каждой точки наблюде-
ний.

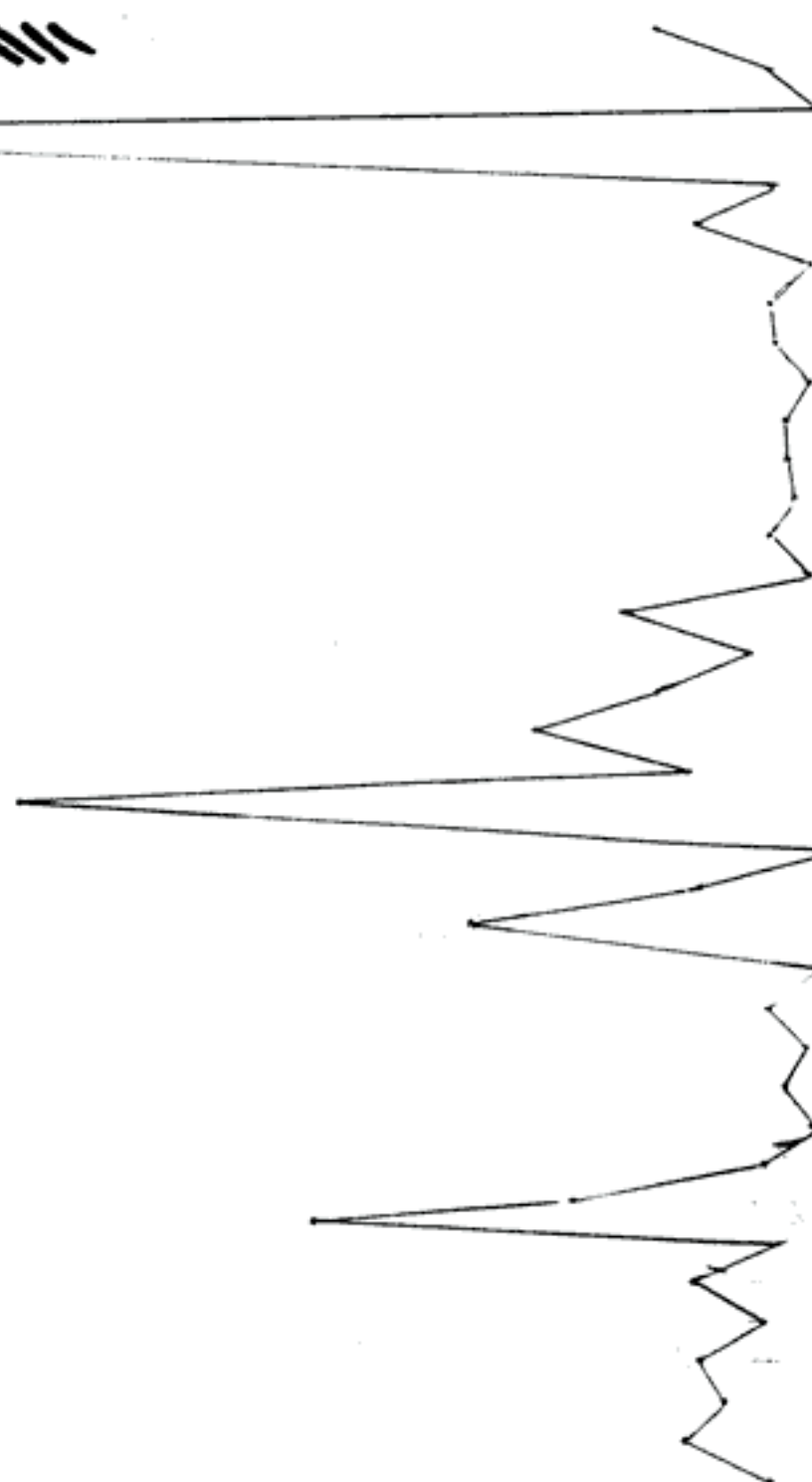
$C_{NO} \text{ M}^{-3}$

500



600

500



C. Huipac.

небольшой флюид

с западной стороны

C. Rivas

C. Malinalco

C. H. Lepra

C. Leprechaun

C. Az

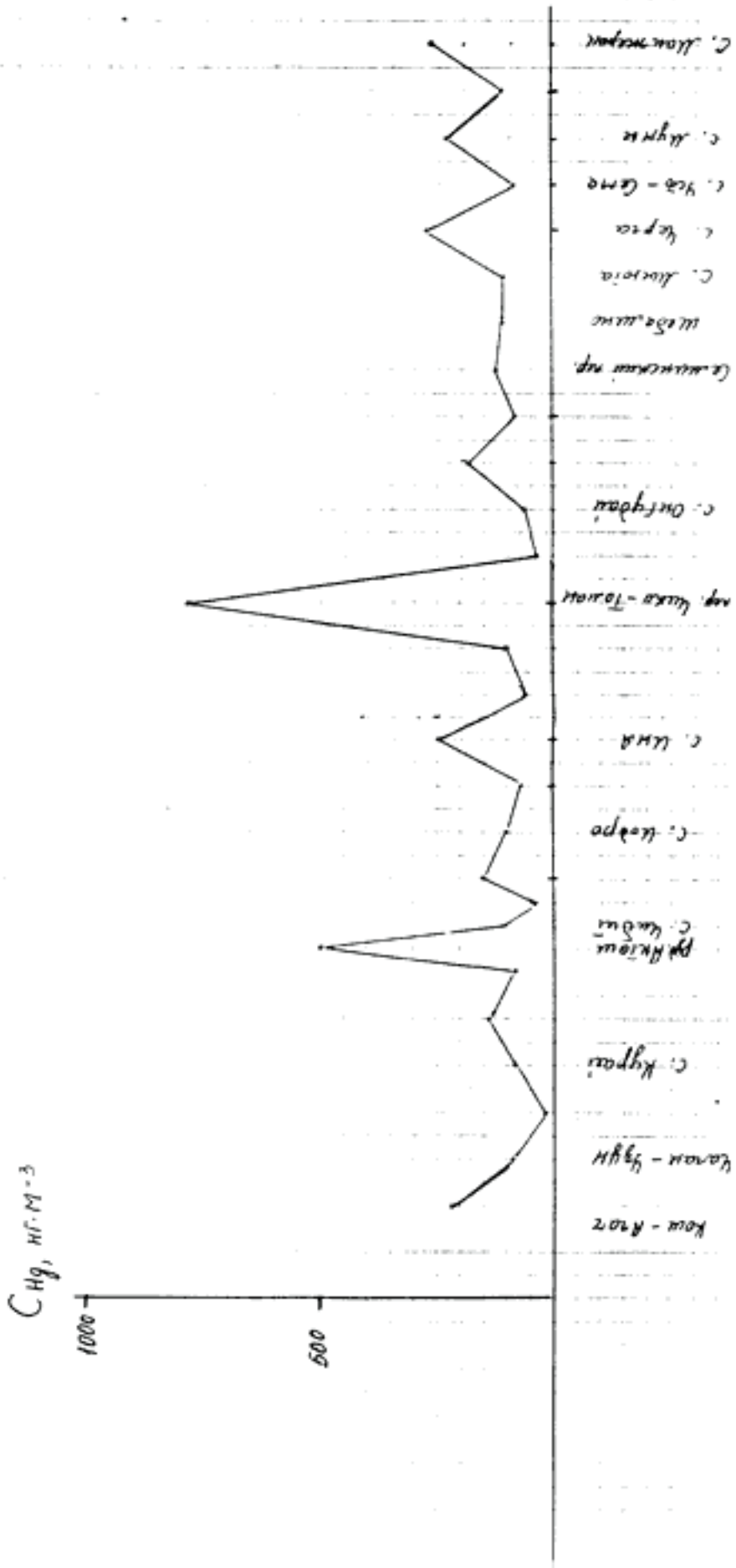
C. Chimalhuacan

C. Ahome

C. Rivas

C. Huipac

Puc's Crustal and Cenozoic Tectonic Profile
Dots Yucatan Peninsula, 16°-17° latitude 19°

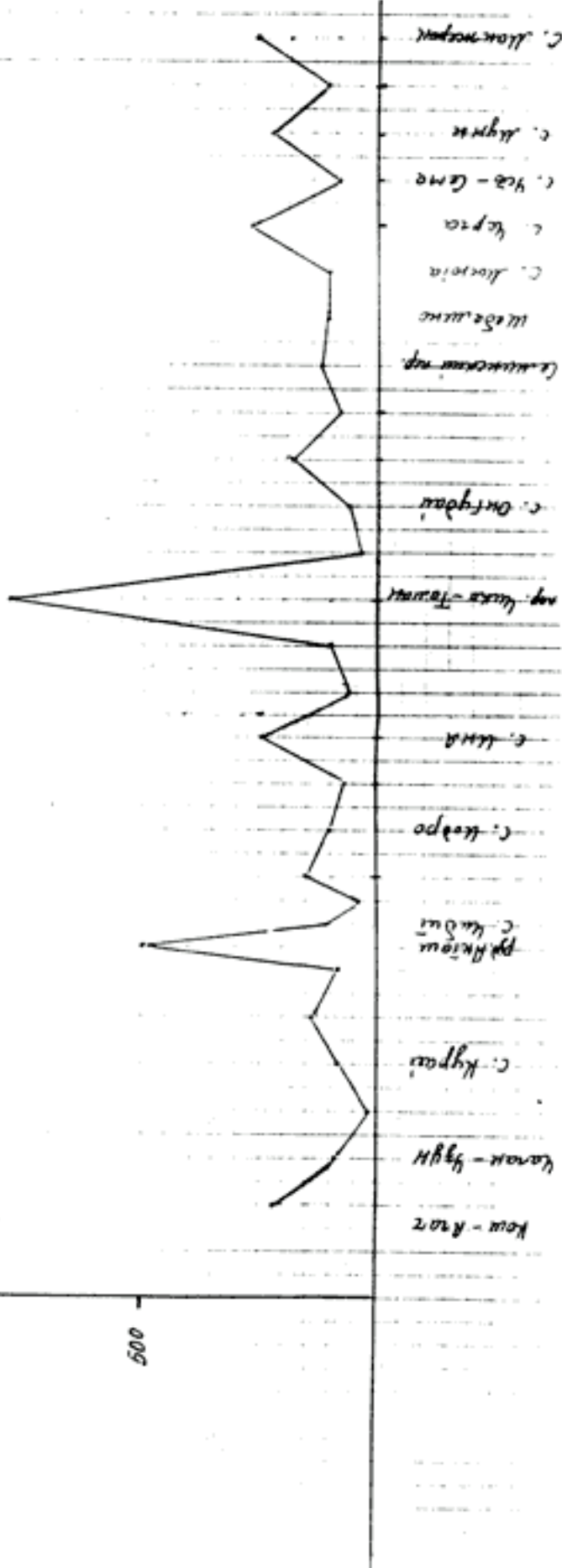


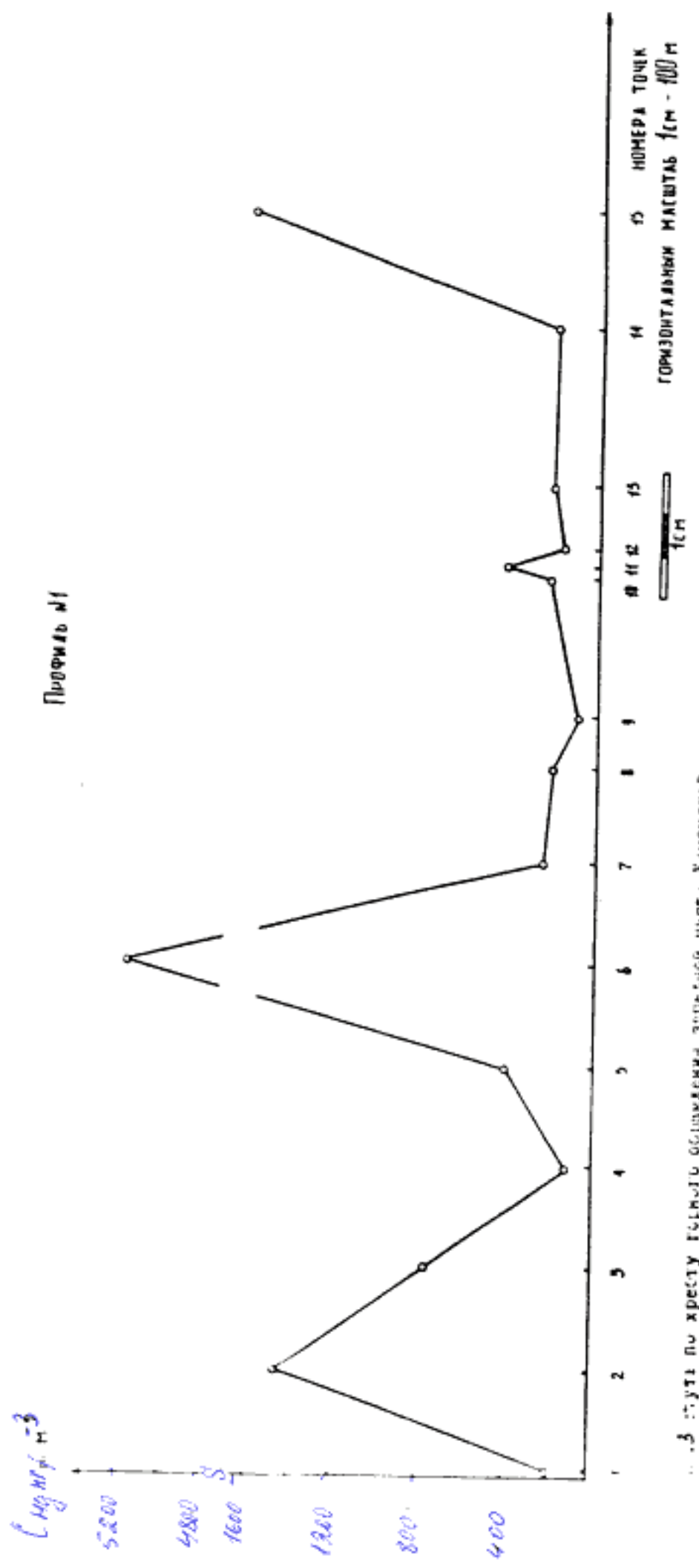
Puerto Chico regopirénico profundo
Sociedad Minera Ipanca, 16-17 agosto 1971

C_{Hg} , $\mu g \cdot m^{-3}$

1000

500





Составлено по ходу ручья сопровождение экспедиции Чистая Уманская
Б.И. Смирнов, 1970 г., август 1-30.

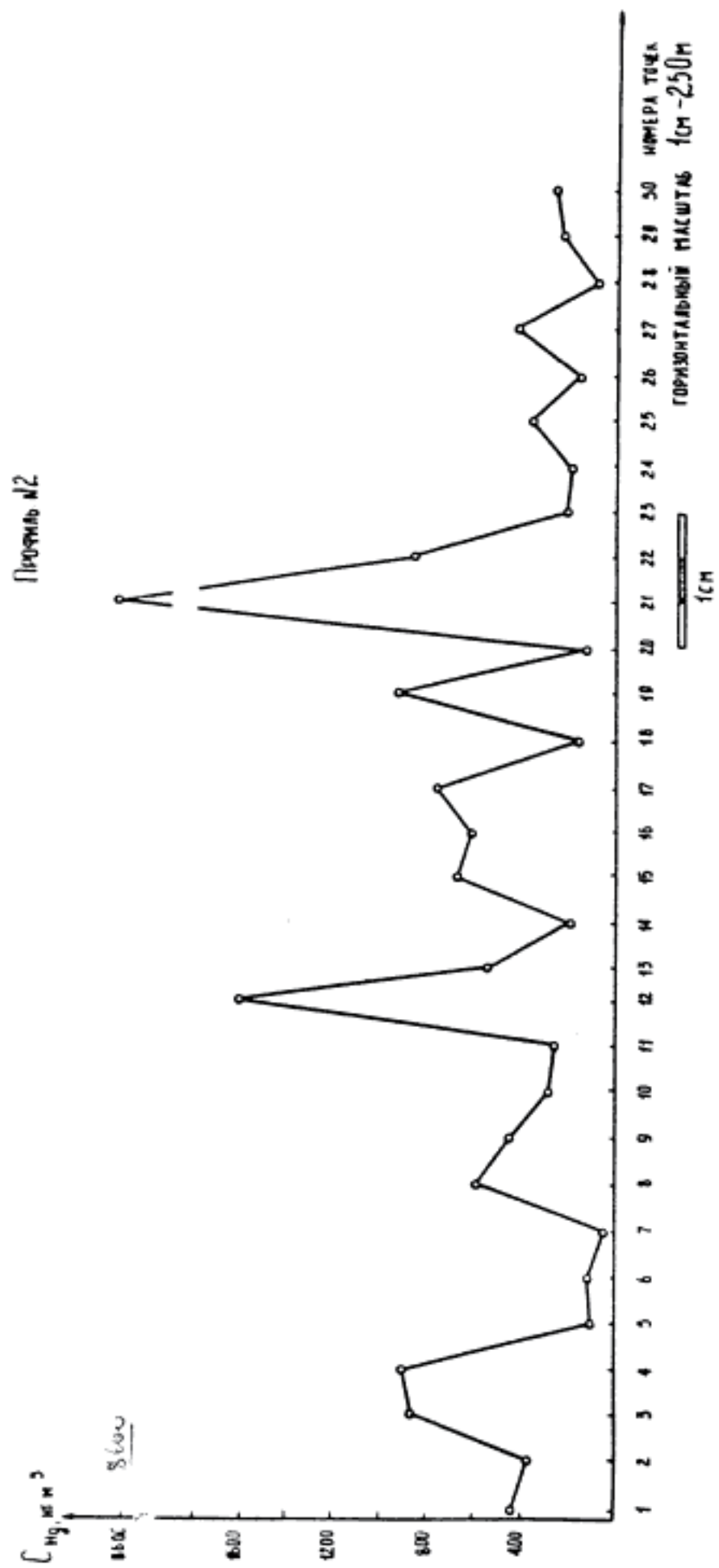


Рис. 4. Чистота в сточных водах промышленного участка промплощадки р. Катунь, Катунь, ВСМЭИ
с. Б.Устьин, Акташ, выпуск 1988г.
спд.

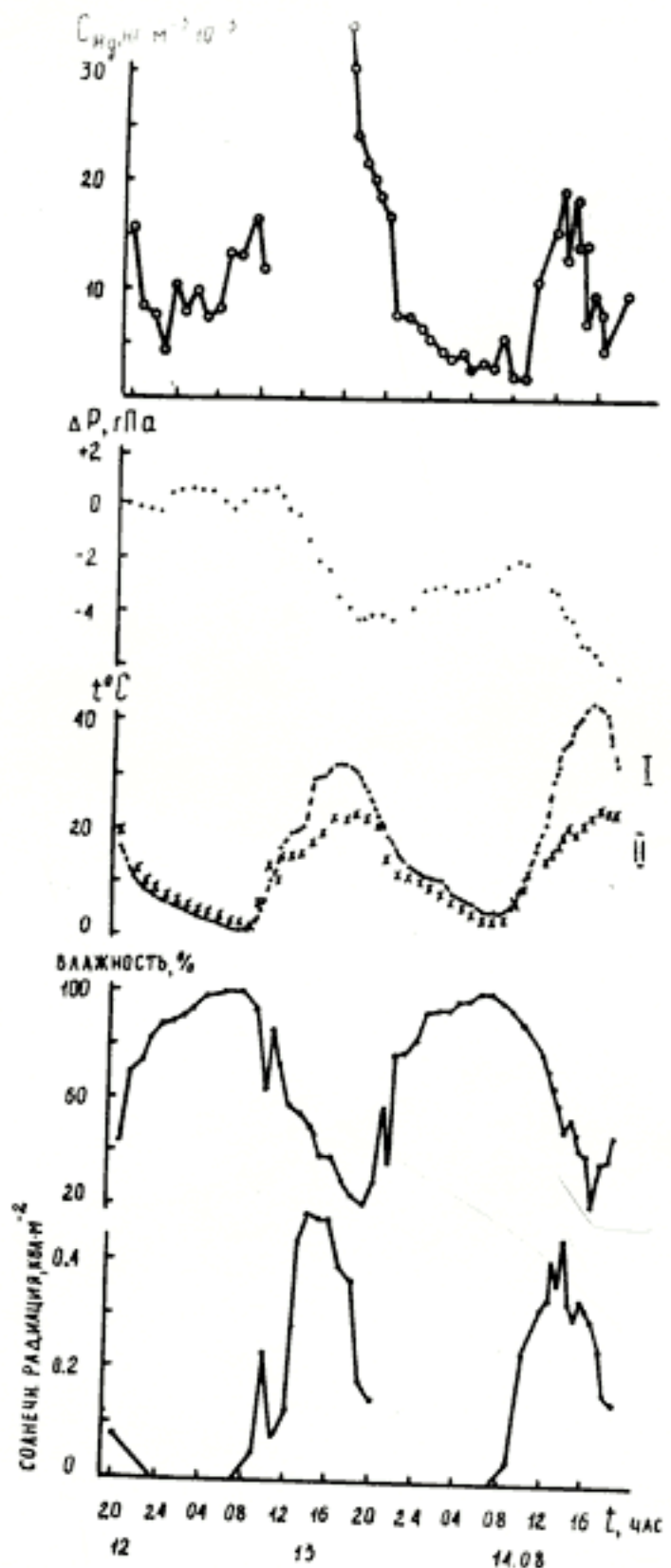


Рис. Режимные наблюдения концентрации газовой формы ртути, сопутствующих метеопараметров (P ; температуры почвы I, воздуха II; влажности, приходящей солнечной радиации); Алтай, В.Уймон, август, 1988 г., точка №II.

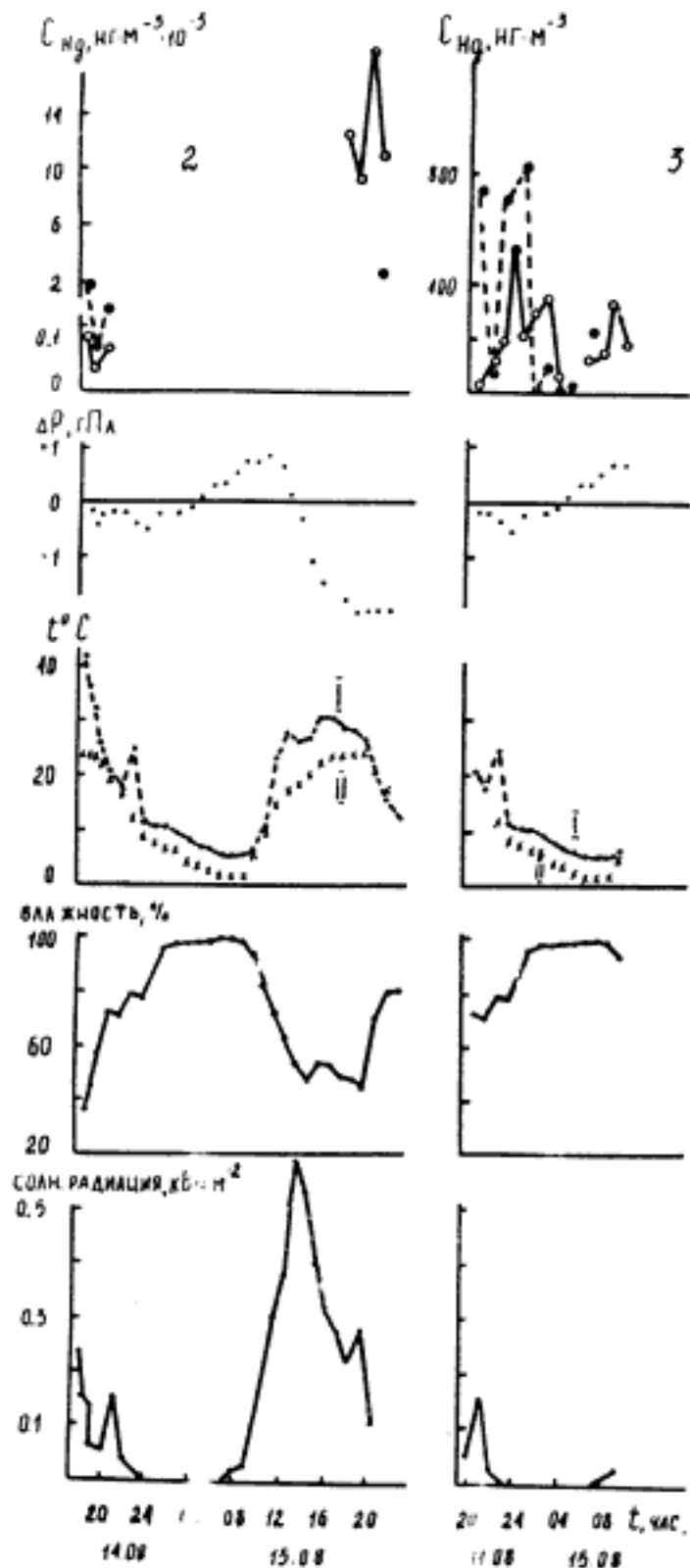


Рис. Режимные наблюдения концентрации газо-вой (—○—) и аэрозольной (—△—) форм ртути в атмосфере и сопутствующих метеопараметров: градиента давления, температуры воздуха (II), почвы (III), влажности, приходящей солнечной радиации; 2 и 3 – точки режимных наблюдений с рис.

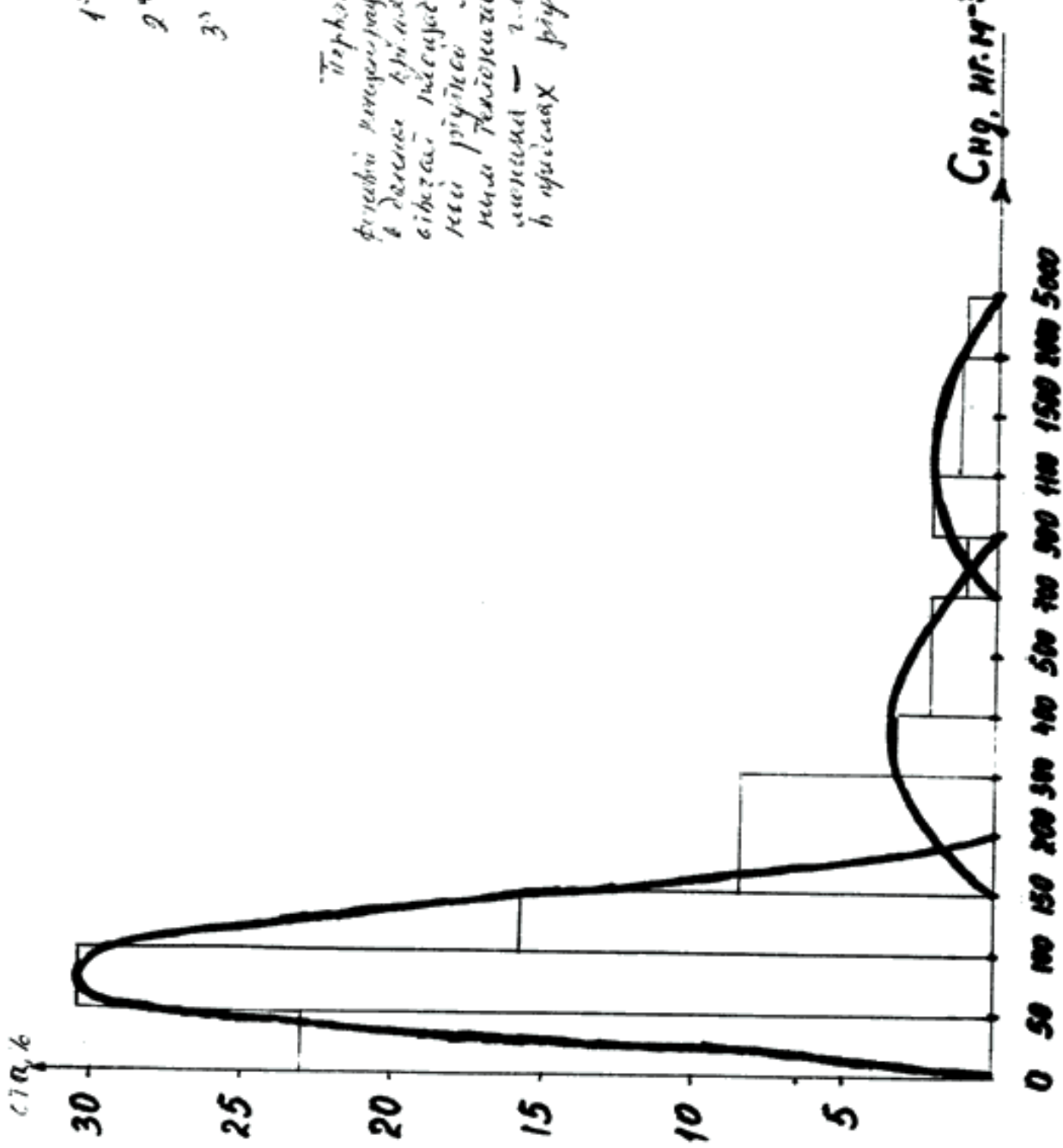
$$N = 95$$

$$1^{\text{st}} \text{ represent: } \bar{X}_{\text{Year}} = 71.5$$

$$2^{\text{nd}} \text{ represent: } \bar{X}_{\text{Year}} = 306$$

$$3^{\text{rd}} \text{ represent: } \bar{X}_{\text{Year}} = 1765$$

Tophus representat opere de
producție și prețuri la diverse producții
de diverse băi și biopas în prezent
către ca: Prețul său prezentat și prețul
restoranelor și supermagazinelor, biocenice
reduc prețurile băilor. Iată și astăzi
acest lucru — ceea ce se întâmplă în prezent
la apărarea prețurilor băilor.



Lucrările fizicale sunt băi și apături de
la 1989, în 1990 și 1991 sunt
apături care au venit de la

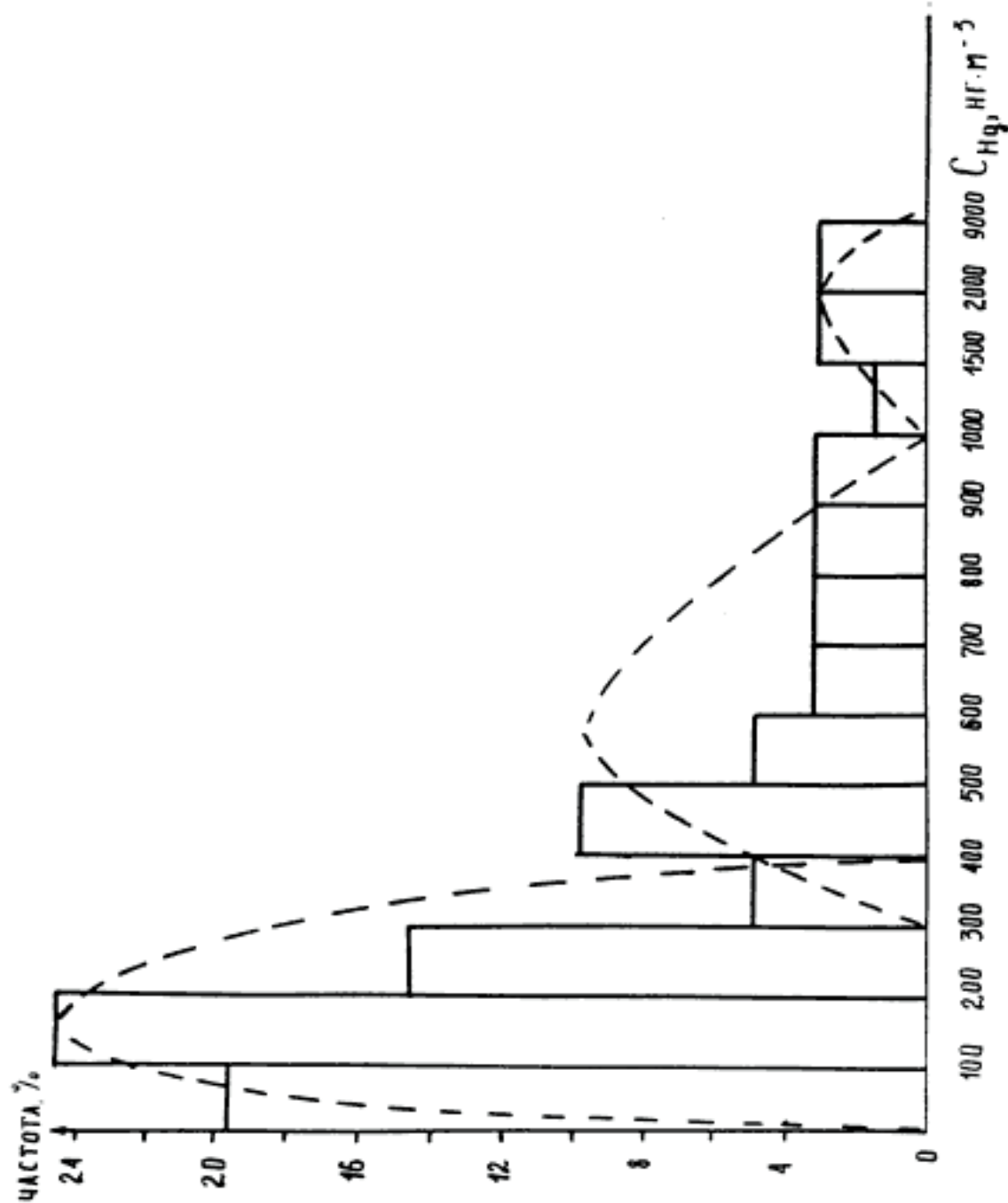


Рис. Гистограмма распределения ртути в атмосфере в газовой фазе;
Алтай, В. Уймон, 13 – 15 августа 1988 года.

котрі переважають у місцях розташування місцевих садово-паркових зон на Азії.

Змінені концентрації ртуті в атмосфері все діється проводившися на Азії в 1989 році, які є продовженням Гаївських 1988 року, з тією же методикою обробки проб та аналізу.

Пограничні привесії місцями характеристичні для концентрації сургучної ртуті по результатам робіт 1989 року.

Протягом роботи 95% проб підприємств місцевих та 150 інших погасових рентакомів надходили в зону Катунського району (с. Анос).

Протягом роботи 95% проб підприємств надходили в зону Катунського району в атмосфері в межах концентрації від ~0,4 до 4735 $\text{НГ}\cdot\text{М}^{-3}$ ртуті в повітрі.

Надходили в зону рентакомів Торак умовами на більш значительні варіації ртуті в атмосфері: від 10,1 до 1185 $\text{НГ}\cdot\text{М}^{-3}$ повітря.

Підводиться на штучніше розрішення ртуті, чиєтакож на природні створюються концентрації ртуті, в предположенні окисів (чи не оксидів) викидів антропогенних фантіров.

Концентрації ртуті вдає Катунські Геологічні зони (рис 2) відмінної балансової ситуацією, та звичай харacterистичної напруженості та балансуванням природної саморегулюючоїся системи (сплановане соєдінення вихідних посток ртуті та вихідних потоків). Високі концентрації ртуті в атмосфері соївісівкої, в перших приближеннях, зонам погасіння концентрації ртуті в городах.

Таке концентрації ртуті вдає Чуйського трансіа (рис 3) характеризуються меншою ступінью надходження та, следовательно, меншою напруженістю.

Динамічне змінення ртуті в штучнісі сівир відбувається

$660 \text{ нг} \cdot \text{м}^{-3}$ и $500 \text{ нг} \cdot \text{м}^{-3}$ соответственно.

Ранее. По сравнению с измерениями 1988 года, концентрации ртути в целом уменьшились примерно на порядок.

Причины подобных многодневных вариаций, отмечавшихся нами и по аналогии оз. Байкал, не совсем понятны и требуются их дальнейшее изучение.

Как, следовательно, и концентрации ртуть по мировым данным? В Европе концентрации ртуть не поддаются Атласами $\sim 10 \text{ нг} \cdot \text{м}^{-3}$, а из Сибири - средние концентрации $> 300 \text{ нг} \cdot \text{м}^{-3}$. Измерения в Чехословакии, даже в загрязненной области, показывают концентрации вдвое выше европейских. Это особый заговор и склоняют его до веры.

Всем Доброго. С уважением Г. Новиков.

5 августа 1989 года